

Криптосистемы на эллиптических кривых

Семён Новосёлов

БФУ им. И. Канта

Математическая школа НИЯУ МИФИ
Секция 1: Дискретная математика и ее приложения
04.12.2023



План

- I. Классическая криптография
(на основе задачи дискретного логарифмирования)
- II. Постквантовая криптография
(на основе задачи вычисления изогении)

I. Классическая криптография

- 1 Где используется?
- 2 Предварительные сведения
- 3 Схема обмена ключами
- 4 Схема подписи
- 5 Выбор кривой для криптографии

Где используется?

Классическая криптография на ЭК в реальном мире:

- **https** (TLS): цифровая подпись, обмен ключами
- **WireGuard VPN** в составе ядра Linux: Curve25519, обмен ключами
- **SSH**: кривая Эдвардса Ed25519
- **Bitcoin/Ethereum**: кривая Secp256k1, цифровая подпись, пороговые схемы для хранения криптокошельков

Где не используется?

Для **шифрования** лучше использовать симметричные схемы, используя эллиптические кривые (и в целом криптографию с открытым ключом) только для генерации общего секретного ключа.

Эллиптические кривые vs RSA

RSA

- криптография в кольце \mathbb{Z}_N
- задача факторизации
- сложность атаки $L_N(1/3)$
- размеры ключей
1024, 2048, 3072, 15360

ЭК

- криптография в группе точек кривой над \mathbb{F}_q
- задача вычисления DLOG
- сложность атаки $q^{1/2}$
- размеры ключей
160, 224, 256, 512

Дополнительно: случайная ЭК ведёт себя примерно как обычная группа.

- для группы G доказана¹ нижняя граница для сложности DLOG: $\Omega(\sqrt{\#G})$

¹Shoup V. "Lower Bounds for Discrete Logarithms and Related Problems". EUROCRYPT'97

Предварительные сведения

Эллиптическая кривая

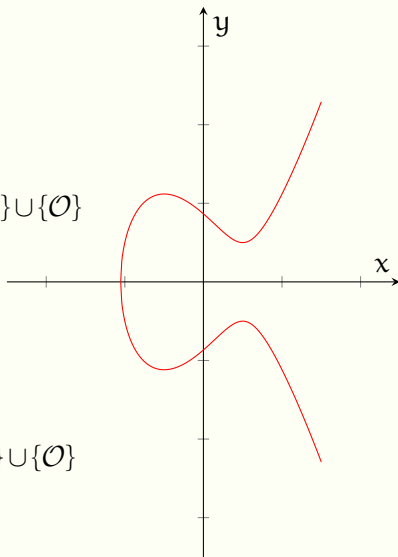
$$E/\mathbb{K} : y^2 = x^3 + ax + b$$

$$E(\mathbb{K}) = \{(x, y) \in \mathbb{K}^2 \mid y^2 = x^3 + ax + b\} \cup \{\mathcal{O}\}$$

- $E(\mathbb{K})$ – группа
- \mathcal{O} – нейтральный элемент

Расширение поля $\mathbb{L} \supseteq \mathbb{K}$

$$E(\mathbb{L}) = \{(x, y) \in \mathbb{L}^2 \mid y^2 = x^3 + ax + b\} \cup \{\mathcal{O}\}$$



Групповой закон

$$E/K : y^2 = x^3 + Ax + B$$

$$P_1 = (x_1, y_1) \in E$$

$$P_2 = (x_2, y_2) \in E$$

$$P_3 = P_1 + P_2 = (x_3, y_3)$$

Случай $x_1 \neq x_2$:

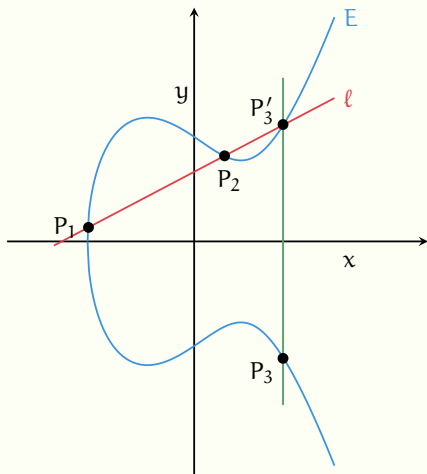
$$x_3 = m^2 - x_1 - x_2$$

$$y_3 = m(x_1 - x_3) - y_1$$

$$m = \frac{y_2 - y_1}{x_2 - x_1}$$

СЛОЖНОСТЬ

$I + 3M$ в K



Групповой закон - 2

$$E/K : y^2 = x^3 + Ax + B$$

$$P_1 = (x_1, y_1) \in E$$

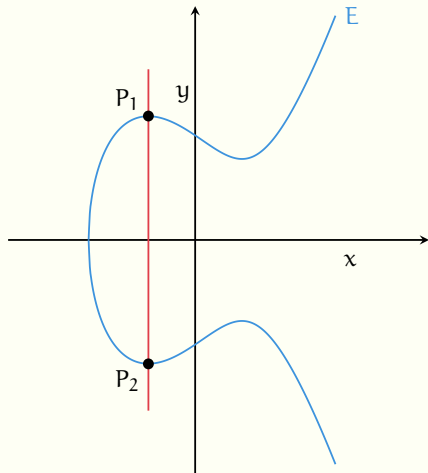
$$P_2 = (x_2, y_2) \in E$$

$$P_3 = P_1 + P_2 = (x_3, y_3)$$

Случай $x_1 = x_2, y_1 \neq y_2$ или

$P_1 = P_2, y_1 = 0$:

$$P_1 + P_2 = \mathcal{O}$$



Групповой закон - 3

$$E/K : y^2 = x^3 + Ax + B$$

$$P_1 = (x_1, y_1) \in E$$

$$P_2 = (x_2, y_2) \in E$$

$$P_3 = P_1 + P_2 = (x_3, y_3)$$

Случай $P_1 = P_2, y_1 \neq 0$:

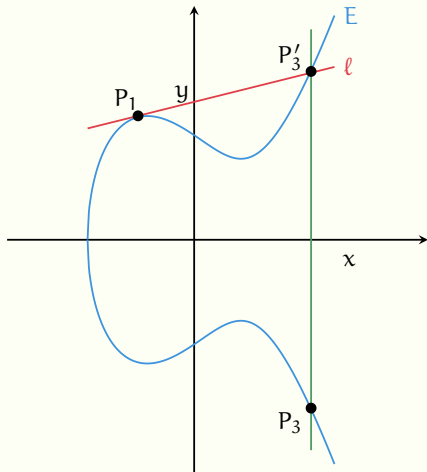
$$x_3 = m^2 - 2x_1$$

$$y_3 = m(x_1 - x_3) - y_1$$

$$m = \frac{3x_1^2 + A}{2y_1}$$

СЛОЖНОСТЬ

I + 4M в K



Быстрое умножение точки на число

$$P \rightarrow [k] \cdot P = \underbrace{P + P + \dots + P}_{k\text{-раз}}$$

Бинарный метод:

$$k = \sum_{j=0}^{\ell-1} k_j 2^j, \quad k_j \in \{0, 1\}$$

- 1 $Q \leftarrow O$
- 2 **for** $j = \ell - 1$ **to** 0 **by** -1 :
 $Q \leftarrow [2] Q$
 if $k_j = 1$:
 $Q \leftarrow Q + P$
- 3 **return** Q

Сложность

$k - 1$ сложений (наивно)

Сложность

удвоений: $O(\lg k)$
сложений: $\omega t(k) \sim O(\lg k)$
(ωt – вес Хэмминга k)
всего: $O(\lg k)$

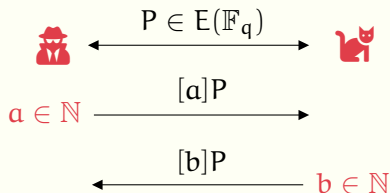
Схема обмена ключами

Задача: имеется два абонента, которые знают открытые ключи друг друга, сгенерировать общий секретный ключ, передавая сообщения по **открытому** каналу.

- секретный ключ может использоваться далее для шифрования сообщений при помощи быстрых симметричных шифров
- такие схемы широко используются в Интернете (протокол HTTPS = HTTP + TLS)

Протокол Диффи – Хеллмана

Выработка общего секретного ключа



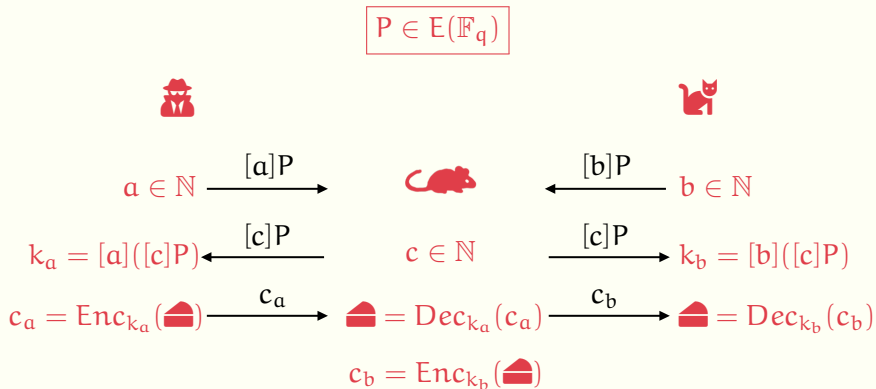
$$[ab]P = [a]([b]P)$$

$$[ab]P = [b]([a]P)$$

- Безопасность основана на сложности нахождения **DLOG** (как минимум):

$$(P, [n]P) \mapsto n$$

Атака “человек посередине”²



²(англ.) man in the middle (MITM)

Цифровая подпись

Общие параметры: кривая E над \mathbb{F}_q , $P \in E(\mathbb{F}_q)$, $r = \text{ord}(P)$.

Генерация ключей 🐱:

- 1 секретный ключ: $a \in [1, r]$
- 2 открытый ключ: $Q = [a]P$

Подпись сообщения 📧:

- 1 🐱 выбирает $k \in [1, r]$ и вычисляет $R = [k]P = (x, y)$
- 2 вычисляет $s = k^{-1}(\text{📧} + ax) \bmod r$
- 3 🐾 = (R, s)

Проверка подписи 🐾 = (R, s):

- 1 🧮 вычисляет $u_1 = s^{-1} \text{☑} \bmod r$ и $u_2 = s^{-1} x \bmod r$
- 2 $S = [u_1]P + [u_2]Q$
- 3 проверяет равенство $S = R$.

Корректность:

$$\begin{aligned} S &= [u_1]P + [u_2]Q = [s^{-1} \text{☑}]P + [s^{-1} x]Q = \\ &= [s^{-1}]([\text{☑}]P + [x a]P) = [k]P = R \end{aligned}$$

- используется повсеместно в составе протокола TLS
- для безопасности схемы требуется ряд ограничений на параметры
- ECDSA / ГОСТ 34.10-2018

Выбор кривой для криптографии

Требования:

1 Безопасность:

- для параметра безопасности λ сложность наилучшей известной атаки должна быть $\approx 2^\lambda$
- на данный момент $\lambda \approx 128$.

2 Эффективность:

- групповой закон должен вычисляться быстро.

Безопасность

$$E/\mathbb{F}_q : y^2 + a_1xy + a_3y = x^3 + a_2x^2 + a_4x + a_6$$

- $N = \#E(\mathbb{F}_q)$, вычисляем с помощью SEA за $O(\log^4 q)$
- $N = O(q)$ (граница Хассе-Вейля)
- $G = \langle P \rangle$ для $P \in E(\mathbb{F}_q)$
- для эффективности: $\#G = \text{ord } P \approx \#E(\mathbb{F}_q)$

DLOG: $Q = [\ell]P, \quad (P, Q) \mapsto \ell$

Каждая известная атака накладывает ограничения по безопасности на (N, q, ℓ) .

Атака BSGS или ρ -методом Полларда

Алгоритм BSGS основан на парадоксе дней рождений.

Сложность: $\tilde{O}(\sqrt{\#G}) = \tilde{O}(\sqrt{q})$ по времени и по памяти.

- ρ -метод Полларда: сложность по памяти $O(\text{polylog } q)$.

Вывод:

- для уровня безопасности $\lambda = 128$ требуется кривая с подгруппой G порядка $\approx 2^{256}$
- т.е. над полем \mathbb{F}_q размера $q \approx 2^{256}$

Атака Полига-Хеллмана

Принцип: решить задачу DLOG в подгруппах G с помощью p -метода Полларда и восстановить искомый DLOG в G по КТО.

$$\#G = p_1^{e_1} \cdot \dots \cdot p_m^{e_m} \implies G \simeq \mathbb{Z}/p_1^{e_1}\mathbb{Z} \oplus \dots \oplus \mathbb{Z}/p_m^{e_m}\mathbb{Z}$$

т.е. $G \simeq G_1 \oplus \dots \oplus G_m$, где $\#G_1 = p_1^{e_1}, \dots, \#G = p_m^{e_m}$.

Сложность: $\tilde{O}(\sum e_i(\log \#G + \sqrt{p_i}))$



Вывод: для безопасности $\#G = cr$, где r – большое простое число, c – малое число.

Комбинируя условия двух атак получаем, что группа точек кривой должна как минимум:

- содержать подгруппу **простого** порядка размера 256-бит для уровня безопасности 128-бит.
- соответственно, размер поля $q \approx 2^{256}$.

Атака спуском Вейля

При $q = p^n$ можно определить ограничение Вейля:

$$W/\mathbb{F}_p := W_{\mathbb{F}_{p^n}/\mathbb{F}_p}(\mathbb{F}_p) = E(\mathbb{F}_{p^n}).$$

- Это абелево многообразие размерности n , т.е. проективное многообразие, обладающее структурой группы.
- Поэтому DLOG на E/\mathbb{F}_{p^n} можно свести к W/\mathbb{F}_p .
- Имеет смысл, если W/\mathbb{F}_p – якобиан кривой рода $g \geq 3$
- Условия, при которых это происходит, не до конца ясны.

В общем случае, работать с абелевыми многообразиями сложнее, чем с эллиптическими кривыми.

Консервативный выбор размера поля для криптографии с учётом существования атаки спуском Вейля: $q = p$.

Атака с помощью билинейных спариваний

Пусть $r = \#G$, $G \subseteq E(\mathbb{F}_q)$ и $\mu_r = \{x \in \overline{\mathbb{F}_q} \mid x^r = 1\}$.

Атака использует следующее отображение на $E[r]$.

Теорема (спаривание Вейля)

\exists отображение $e_n : E[r] \times E[r] \rightarrow \mu_r$ со свойствами:

1 $e_r(T, T) = 1$

2 $e_r(T, S) = e_r(S, T)^{-1}$

3 $e_r(S_1 + S_2, T) = e_r(S_1, T)e_r(S_2, T)$ (билинейность)

$e_r(S, T_1 + T_2) = e_r(S, T_1)e_r(S, T_2)$

4 $e_r(S, T) = 1, \forall T \implies S = \mathcal{O}$ (невырожденность)

$e_n(S, T) = 1, \forall S \implies T = \mathcal{O}$

Другие билинейные отображения: спаривание Тейта, эта-спаривание.

Степень вложения: минимальное целое k т.ч. $E[r] \subseteq E(\mathbb{F}_{q^k})$.

Атака на DLOG: $|\langle P \rangle| = r$, $Q = \ell P$.

1 Выбрать случайную точку R .

2 $\alpha = e_r(P, R)$

3 $\beta = e_r(Q, R)$

$$(\beta = e_r(\ell P, R) = e_r(P, R)^\ell = \alpha^\ell)$$

4 $\ell = \text{DLOG}(\alpha, \beta)$ в \mathbb{F}_{q^k}

Конструктивное использование: ZCash, IBE, SKE.

- Сложность решения DLOG в \mathbb{F}_{q^k} используя NFS (и его модификации): $L_{q^k}(1/3, c)$.
- Для уровня безопасности $\lambda = 128$ требуется поле размера 3072-бит [ECRYPT'18].



Для стойкости к атаке с помощью билинейных спариваний необходимо: $k \geq 24$ (3072/128).

- Т.к. $\mu_r \subseteq \mathbb{F}_{q^k} \iff q^k \equiv 1 \pmod{r}$. Достаточно проверить, что:

$$r \nmid q^k - 1,$$

для $k = 1, \dots, 24$.

Аномальные кривые

Кривые с $\#E(\mathbb{F}_p) = p$ называются **аномальными**.

- Если $\#G = p$ для кривой E/\mathbb{F}_p , то \exists гомоморфизм $E[p] \rightarrow \Omega_E^0(\mathbb{F}_p)$

Здесь $\Omega_E^0(\mathbb{F}_p)$ – \mathbb{F}_p -векторное пространство голоморфных дифференциалов, где DLOG решается время $O(\text{polylog}(p))$

- Подробнее: [Galbraith'12, §26.4.1].
- Условия легко проверяются.

Атаки на кривые с автоморфизмами

Существуют модификации методов BSGS или ρ -метода Полларда, использующие автоморфизмы.

- **Идея:** при поиске DLOG перебирать вместо точек P классы эквивалентности $(P, \psi(P), \psi^2(P), \dots, \psi^{\alpha-1}(P))$ для $\alpha = \text{ord } \psi$.
- **Сложность:** для модифицированного ρ -метода Полларда – $O(\sqrt{\frac{\pi}{2\alpha}} \sqrt{\#G})$ [Galbraith'12, Th. 14.4.3]

- Может быть обобщено на эндоморфизмы, в случае если их можно эффективно вычислить.

Пример кривой:

$$E/\mathbb{F}_p : y^2 = x^3 + a_6,$$

- Автоморфизм: $(x, y) \mapsto (\zeta_3 x, y)$ для $p \equiv 1 \pmod{3}$, $\alpha = 3$.
- Эффективная арифметика, т.к. $a_4 = 0$.
- Однако нужно учитывать ускорение DLOG.

Условия безопасности для $\lambda = 128$ относительно основных атак.

$$E/\mathbb{F}_q : y^2 = x^3 + a_4x + a_6$$

- 1 $r = \# \langle P \rangle \subseteq E(\mathbb{F}_q)$ – простое число, $\#E(\mathbb{F}_q)/r$ – малое число (стойкость к методу Полига-Хеллмана)
- 2 $r \approx 2^{256}$ (стойкость к ρ -методу Полларда)
- 3 $q = p$ (стойкость к спуску Вейля)
- 4 $r \nmid q^k - 1$ для $k \leq 24$ (стойкость к атакам на спариваниях)
- 5 $r \neq p$ (кривая не аномальная)

Дополнительно

- Параметры кривой должны сопровождаться детальным описанием откуда они взялись.
 - сиды всех псевдослучайных функций
 - выбор псевдослучайных функций / хеш-функций (если $a_4 = \text{hash}(\text{seed})$, $a_6 = \text{hash}(\text{seed})$)
- Условия только для DLOG, не гарантируется безопасное использование E в протоколах

Эффективность

Есть 3 основных формы кривой E.

- 1 Краткая форма Вейерштрасса:

$$y^2 = x^3 + ax + b$$

- 2 Кривые Монтгомери:

$$By^2 = x^3 + Ax^2 + x$$

- 3 Кривые Эдвардса:

$$x^2 + y^2 = 1 + dx^2y^2$$

Сравнение операций

Кривая/Операция	$P + Q$	$2P$
Кривая Вейерштрасса (проект. коорд.)	$12M + 2S$	$5M + 2S$
Кривая Вейерштрасса (коорд. Якоби)	$11M + 5S$	$1M + 8S$
Кривая Эдвардса	$10M + 1S$	$3M + 4S$
Кривая Монтгомери	$6M + 2S^3$	$4M$

³ для $2P + Q$

Литература

- Болотов А.А., Гашков С.Б., Фролов А.Б., Часовских А.А. Алгоритмические основы эллиптической криптографии. 2000
- Болотов А.А., Гашков С.Б., Фролов А.Б., Часовских А.А. Элементарное введение в эллиптическую криптографию. 2006
- Washington L.C. Elliptic curves: number theory and cryptography. 2008
- Blake I., et al. Elliptic curves in cryptography. 1999.
- Cohen H., et al. Handbook of elliptic and hyperelliptic curve cryptography. 2005.
- Galbraith S. D. Mathematics of public key cryptography. 2012.

II. Постквантовая криптография

Задача вычисления DLOG решается на квантовом компьютере за **полиномиальное** время.

- для кривой над полем размера 256 бит требуется квантовый компьютер⁴ с 2124 логическими кубитами
- из-за наличия шума может потребоваться существенно больше физических кубит
- квантовые компьютеры постоянно совершенствуются

⇒ необходимо разработать криптосистемы, стойкие к атакам на квантовом компьютере.

⁴Häner T., Jaques S., et al. "Improved Quantum Circuits for Elliptic Curve Discrete Logarithms". PQCrypto 2020

Криптография на изогениях

Альтернатива постквантовой криптографии на решётках и кодах.

- основана на сложности задачи вычисления изогении между двумя кривыми
- в настоящее время отрасль перестраивается
- так как в 2022 году появилась полиномиальная атака Кастрика-Декру на схему SIDH/SIKE, перевернувшая данную область
- многие схемы стали неактуальными
- однако базовые задачи остались трудными

Изогении

Неформально: “хорошие функции между эллиптическими кривыми”, которые можно описать в виде дробей из многочленов.

Пусть E_1, E_2 – эллиптические кривые.

- ненулевой гомоморфизм, задаваемый рациональными функциями

В явном виде:

$$\phi(x, y) = \left(\frac{f_1(x, y)}{f_2(x, y)}, \frac{g_1(x, y)}{g_2(x, y)} \right) = \left(\frac{p(x)}{q(x)}, y \frac{s(x)}{t(x)} \right)$$

Степень изогении: $\deg \phi = \max\{\deg p(x), \deg q(x)\}$.

Изогения называется **сепарабельной**, если производная $\frac{p}{q}$ по x не равна 0, и **несепарабельной** в противном случае.

Для сепарабельных изогений $\deg \phi = \#\ker \phi$.

Если $E_1 = E_2$, то ϕ – эндоморфизм.

Пример 1: Умножение на m

$$[m] : E \rightarrow E,$$

$$P \mapsto m \cdot P.$$

Задаётся многочленами деления.

$$E/\mathbb{Q} : y^2 = x^3 + x$$

$$[2]P = \left(\frac{(x^2 - 1)^2}{4(x^3 + x)}, y \frac{x^6 + 5x^4 - 5x - 1}{8(x^3 + x)^2} \right)$$

$$\ker[2] = \{ \mathcal{O}; (x_P, 0) : x_P^3 + x = 0 \}$$

$$\#\ker[2] = 4 = \deg[2],$$

Для сепарабельных изогений степень совпадает с $\#\ker$.

Пример 2: Эндоморфизм Фробениуса

$$\phi : E \rightarrow E,$$

$$(x, y) \mapsto (x^q, y^q),$$

$$\phi = (x^q, y(x^3 + ax + b)^{\frac{q-1}{2}})$$

$$\ker \phi = \mathcal{O}_E, \deg \phi = q$$

(изогения не сепарбельная)

Теорема Тейта о изогениях эллиптических кривых

Эллиптические кривые E_1, E_2 изогенны над $\mathbb{F}_q \iff$
 $\#E_1(\mathbb{F}_q) = \#E_2(\mathbb{F}_q)$

Следствие: проверка кривых на изогенность имеет сложность $O(\log^4 q)$ при использовании SEA.

Формулы Vélu

Пусть E/\mathbb{F}_q – эллиптическая кривая, G – подгруппа $E(\overline{\mathbb{F}}_q)$.

Тогда:

- 1 $\exists E'/\mathbb{F}_q$ и сепарабельная изогения $\phi : E \rightarrow E'$ определённая над \mathbb{F}_q степени $\#G$ т.ч. $\ker \phi = G$.
- 2 если $\psi : E \rightarrow E''$ – другая сепарабельная изогения степени $\#G$ т.ч. $G = \ker \psi$, то $j(E') = j(E'')$.

Обозначение: $E/G := E'$ – фактор-кривая.

Важно! Не путать с фактор-группой.

Vélu описал явные формулы для E' , ϕ .

$$E : y^2 = x^3 + ax + b$$

$$\phi(P) = \left(x_P + \sum_{Q \in G \setminus \{O\}} (x_{P+Q} - x_Q), y_P + \sum_{Q \in G \setminus \{O\}} (y_{P+Q} - y_Q) \right).$$

А изогенная кривая определяется как:

$$E/G : y^2 = x^3 + a'x + b',$$

где

$$a' = a - 5 \sum_{Q \in G \setminus \{O\}} (3x_Q^2 + a),$$

$$b' = b - 7 \sum_{Q \in G \setminus \{O\}} (5x_Q^3 + 3ax_Q + b).$$

Пример 3: Сепарабельная изогения

$$E/\mathbb{F}_7 : y^2 = x^3 + 2x + 4$$

$$P = (3, 3), G = \langle P \rangle, \#G = 5$$

$$\phi : (x, y) \mapsto \left(\frac{x^5 + 4x^4 + 4x^3 + 5x^2 + 2x + 3}{x^4 + 4x^3 + 2x^2 + 3x + 1}, y \frac{x^6 - x^5 + 3x^3 + 3x^2 + 2x}{x^6 - x^5 + 2x^4 + 3x^3 - 2x^2 - x - 1} \right)$$

$$E/G : y^2 = x^3 + 6x + 4$$

Степень ϕ равна 5.

Ядра изогений

$$[\ell]P = P + \dots + P \text{ (\ell-раз)}$$

Группа-кручения

$$E[\ell] = \{P \in E(\overline{\mathbb{F}}) \mid [\ell]P = \mathcal{O}\}$$

- все ядра изогений степени ℓ – подгруппы $E[\ell]$
- перебирая все подгруппы $G \subseteq E[\ell]$ можно построить с помощью формул Велу все изогении степени ℓ

Важно: ядра изогений не принадлежат базовому полю в общем случае.

Пример 4: Изогения с ядром над расширением

$$E/\mathbb{F}_7 : y^2 = x^3 + 2x + 4$$

$$\mathbb{F}_{7^4} = \mathbb{F}_7[\alpha]/\langle \alpha^4 + 5\alpha^2 + 4\alpha + 3 \rangle$$

$$P = (5\alpha^3 + \alpha^2 + 5\alpha + 2, 5\alpha^3 + 6\alpha^2 + 4\alpha + 2)$$

$$G = \langle P \rangle \subset E[5], \#G = 5$$

$$\phi : (x, y) \mapsto \left(\frac{x^5 - x^4 - 3x^3 - 3x^2 - x - 2}{x^4 - x^3 + x + 1}, y \frac{x^6 + 2x^5 - x^4 + x^3 - 2x^2 + 3x - 1}{x^6 + 2x^5 + 3x^4 + 2x^3 - 3x^2 + 2x - 1} \right)$$

$$E/G : y^2 = x^3 + 3x + 4$$

Степень ϕ равна 5. Изогения определена над \mathbb{F}_7 несмотря на то, что её ядро G определено над \mathbb{F}_{7^4} .

Сложность вычисления ϕ и E/G : $O(|G|)$.

Оптимизации:

- Castryck-Decru-Vercauteren, "Radical isogenies"
- Bernstein-De Feo-Leroux-Smith: $O(\sqrt{|G|})$,
`velusqrt.isogeny.org`

G – подгруппа большого порядка \implies вычисление E/G является трудной задачей.

Это делает невозможными вычисления с секретными изогениями "в лоб" в криптосистемах.

Выход: брать $|G| = \ell_1^{e_1} \cdot \dots \cdot \ell_r^{e_r}$ для малых ℓ_i и вычислять изогению как композицию изогений малых степеней.

Проблема нахождения изогении

Общая задача нахождения изогении

Даны две изогенные кривые E_1 и E_2 .
Известно, что степень изогении равна ℓ .
Вычислить изогению между ними.

При известном ядре G задача решается за полиномиальное время (если $\#G$ – гладкое).

Суперсингулярные кривые:

- наилучший алгоритм – поиск на основе парадокса дней рождений
- сложность: $\mathcal{O}(p^6)$ (квант. алг.) и $\mathcal{O}(p^4)$ (класс. алг.)

Обычные кривые:

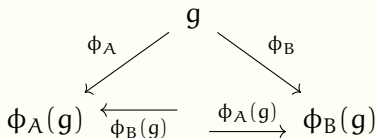
- квантовый субэкспоненциальный алгоритм

SIKE/SIDH

- Был одним из кандидатов на стандартизацию NIST
- Microsoft объявляла награду за взлом на \$50,000 USD
- Для оптимизации в схему добавили дополнительную информацию об изогениях – значения секретной изогении в точках кручения.
- Что и привело в итоге к взлому данной системы.

“Стандартный” протокол DH в абстрактной группе

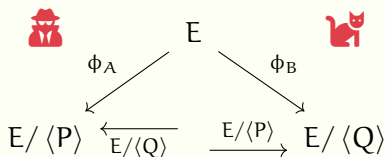
G – группа, $\langle g \rangle = G$, $\phi_A(x) = [A] \cdot x$ – гомоморфизм групп.



$$\phi_A(\phi_B(g)) = \phi_B(\phi_A(g)) = [AB] \cdot g$$

- изогении суперсингулярных кривых в качестве гомоморфизмов \Rightarrow протокол SIDH (de Feo & Jao 2011)

SIDH (Supersingular Isogeny Diffie-Hellman)



Краткое описание:

- 1 Публичные параметры: E – суперсингулярная кривая.
- 2  выбирает секретное ядро $\langle P \rangle$, строит изогению и отправляет  кривую $E/\langle P \rangle$
- 3  выбирает своё секретное ядро $\langle Q \rangle$, строит изогению и отправляет  кривую $E/\langle Q \rangle$
- 4 Общий секретный ключ:
$$E/\langle P + Q \rangle = (E/\langle P \rangle)/\phi_A(Q) = (E/\langle Q \rangle)/\phi_B(P)$$

Проблема: как посчитать $\phi_A(Q)$ и $\phi_B(P)$?

В SIDH для обхода данной проблемы публикуются значения секретных изогений в образующих групп кручения.

Детальное описание

Публичные параметры:

- 1 простое $p = \ell_A^{e_A} \ell_B^{e_B} \cdot c \pm 1$, где ℓ_A, ℓ_B – малые простые
- 2 E – суперсингулярная кривая над \mathbb{F}_{p^2} т.ч.
$$\#E(\mathbb{F}_{p^2}) = (\ell_A^{e_A} \ell_B^{e_B} c)^2$$
- 3 $\langle P_A, Q_A \rangle$ – базис $E[\ell_A^{e_A}]$, $\langle P_B, Q_B \rangle$ – базис $E[\ell_B^{e_B}]$

Секретные параметры:



$m_A, n_A \in \mathbb{Z}/\ell_A^{e_A}\mathbb{Z}$, изогения ϕ_A с ядром

$\langle [m_A]P_A + [n_A]Q_A \rangle$



$m_B, n_B \in \mathbb{Z}/\ell_B^{e_B}\mathbb{Z}$, изогения ϕ_B с ядром $\langle [m_B]P_B + [n_B]Q_B \rangle$

Выработка общего ключа:

- 1  \implies : $(E_A, \phi_A(P_B), \phi_A(Q_B))$
- 2  \implies : $(E_B, \phi_B(P_A), \phi_B(Q_A))$
- 3 : $E_{AB} := E_B / \langle [m_A]\phi_B(P_A) + [n_A]\phi_B(Q_A) \rangle$
- 4 : $E_{BA} := E_A / \langle [m_B]\phi_A(P_B) + [n_B]\phi_A(Q_B) \rangle$
- 5 **Общий секретный ключ:** $j(E_{AB}) = j(E_{BA})$

Замечания

- сложность атаки (MITM): $O(\sqrt[4]{p})$ на классическом компьютере и $O(\sqrt[6]{p})$ для квантового компьютера
- гладкое число точек необходимо для быстрого вычисления изогений в точке
- можно выбрать E – обычную кривую с гладким числом точек \implies сложность атаки на квантовом компьютере становится субэкспоненциальной, т.к. кольцо эндоморфизмов – коммутативное.

SIKE. Параметры

- 1 $E : y^2 = x^3 + 6x^2 + x$
- 2 $p = 2^{e_A} 3^{e_B} + 1$
- 3 $\#E(\mathbb{F}_{p^2}) = 2^{e_A} 3^{e_B}$
- 4 $2^{e_A} \approx 3^{e_B}$

Атака Кастрика-Декру

-  Castryck, Decru - An efficient key recovery attack on SIDH. 2022
-  Maino, Martindale - An attack on SIDH with arbitrary starting curve. 2022
-  Robert - Breaking SIDH in polynomial time. 2022

Выступление Castryck на ANTS XV:

 https://www.youtube.com/watch?v=_eNv7An3Qj0

Восстановление ключа

Пусть $G_B = \langle [m_B]P_B + [n_B]Q_B \rangle$ – секретное ядро .

Задача восстановления ключа:

$$E, E/G_B, \phi_B(P_A), \phi_B(Q_A) \implies \phi_B$$

Более того: $\phi_B = \phi_{e_B} \circ \dots \circ \phi_2 \circ \phi_1$, где $\deg \phi_i = \ell_B$.

$$E \xrightarrow{\phi_1} E_1 \xrightarrow{\phi_2} E_2 \xrightarrow{\phi_3} \dots \xrightarrow{\phi_{e_B}} E/G_B$$

- в схемах на изогениях предполагается, что нельзя восстановить сначала ϕ_1 , затем ϕ_2 и т.д.
- всего существует ℓ_B^2 вариантов выбора ϕ_i и перебор “в лоб” неэффективен.
- Кастрик и Декру предложили эффективный критерий для определения правильного варианта для ϕ_i на основе теоремы Кани’97.

Схемы стойкие к атаке

Замечание: если $\phi_B(P_A)$ и $\phi_B(Q_A)$ неизвестны (общая задача поиска изогении), то атака не работает.

Схемы не использующие точки кручения:

CSIDH, OSIDH, weakSIDH PoK, SeaSign, SQISign, CSI-FiSh

 [issikebrokenyet.github.io](https://github.com/issikebrokenyet)

Схема CSIDH

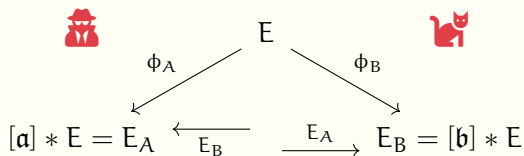
Предложена Castryck, Lange, Martindale, Panny и Renes.

- Основана на действии групп.
- Сложность классической атаки: $\mathcal{O}(p^{1/4})$
- Сложность квантовой атаки: $L(1/2)$

 CSIDH: An Efficient Post-Quantum Commutative Group Action. ASIACRYPT 2018

 <https://csidh.isogeny.org/>

Схема CSIDH - 2



Общий ключ: $E_{AB} = [a] * E_B = [b] * E_A = [ab] * E_0$

- $\alpha \subset \text{End}(E)$, кривая E_A и изогения вычисляются по формулам Велу, положив $G = \ker \alpha$ (E_{AB} , E_B – аналогично)
- для формирования ключа требуется коммутативность
- из-за этого доступны квантовые субэксп. атаки

Схема CSIDH - 3

Публичные параметры схемы:

- простое $p = 4 \cdot \ell_1 \cdots \ell_n - 1$, где ℓ_1, \dots, ℓ_n – малые простые.
- Суперсингулярная эллиптическая кривая $E_0 : y^2 = x^3 + x$ над полем \mathbb{F}_p .
- $\mathfrak{l}_i = (\ell_i, \pi_p - 1)$, $\mathfrak{l}_i^{-1} = (\ell_i, \pi_p + 1)$ – идеалы $\mathbb{Z}[\pi_p]$
- m – наименьшее положительное целое, такое, что $2m + 1 \geq \sqrt[n]{\# \text{Cl}(\mathbb{Z}[\pi_p])}$.

Схема обмена ключами

Пользователь :

- 1 выбирает секретный вектор $(e_1, \dots, e_n) \in \{-m, \dots, m\}^n$
- 2 определяет класс идеала $[a] = [i_1^{e_1} \dots i_n^{e_n}] \in Cl(\mathbb{Z}[\pi_p])$
- 3 вычисляет свой открытый ключ $E_A = [a] * E_0$

Пользователь :

- 1 выбирает секретный вектор $(f_1, \dots, f_n) \in \{-m, \dots, m\}^n$
- 2 определяет класс идеала $[b] = [i_1^{f_1} \dots i_n^{f_n}] \in Cl(\mathbb{Z}[\pi_p])$
- 3 вычисляет свой открытый ключ $E_B = [b] * E_0$

Общий ключ: $E_{AB} = [a] * E_B = [b] * E_A = [ab] * E_0$

Размеры ключей

Схема	Уровень стойкости	Открытый ключ	Закрытый ключ	Общий ключ
CRS	128/56	64	8	64
OSIDH	128/128	36	31	36
CSIDH-512	128/62	64	32	64

Таблица 1: Размеры ключей (в байтах) для актуальных схем обмена ключами на изогениях.

- CRS/CSIDH: субэкспоненциальные квантовые атаки
- OSIDH: экспоненциальные квантовые атаки



Контакты

snovoselov@kantiana.ru
crypto-kantiana.com/semyon.novoselov